УСТАНОВКА ДЛЯ ИОННОЙ ИМПЛАНТАЦИИ МЕТАЛЛОВ

Ч.Карват¹, П.Жуковски¹, М.Козак¹, К.Кищак², Е.Лиськевич² *¹Люблинский технический университет, Польша* ²Университет им. М. Кюри - Склодовской, Люблин, Польша

В работе представлена конструкция узлов разработанной и введённой в эксплуатацию установки для модификации материалов, в которой можно реализовать разные методы ионной имплантации. Описана конструкция камеры мишени, позволяющей контролировать изменения электрических свойств металлов непосредственно в процессе имплантации .

1. Введение

Для модификации приповерхностных слоев металлов применяется несколько технологий, в которых используются пучки ионов средних энергий. этих технологий находятся: имплантация, вторичная имплантация, динамическое перемешивание, двухпучковая имплантация. Выше перечисленные технологии, в случае модификации металлов, требуют достаточно больших доз и возможности имплантации значительных поверхностей. Это, в свою очередь, означает необходимость использования больших ионного тока. Желательны возможность регуляции температуры и контроль имплантируемого СВОЙСТВ слоя. факультете электротехническом Λ юблинского технического университета сконструирована, изготовлена и введена в эксплуатацию установка, в которой реализованы поставленные выше цели. Ниже будут представлены конструкция техническая характеристика установки.

2. Конструкция и основные характеристики ионно-оптической системы

Конструкция ионно-оптической системы и блок-схема энергопитания установки представлены на рис.1. Для генерации ионов газов (азот, аргон и др.) использован источник ионов с холодным катодом, описанный в работе [1].

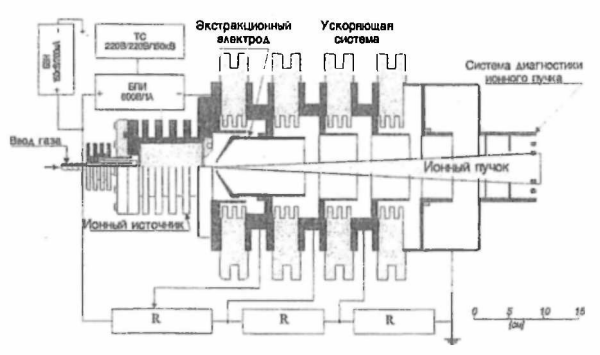


Рис.1, Схема ионно - оптической систмы. БВН - блок высокого напряжения (до 150 кВ), БПИ - блок питания источника ионов (600В, 1А), ТС - трансФормотор 220/220В с изоляцией первичной и вторичной обмоток на 150 кВ, R - делитель напряжения.

Ионы вытягиваются из источника с помощью экстракционного электрода и предварительно ускоряются до энергии около 30 кзВ, после чего попадают в область окончательного ускорения. Она состот из трех электродов цилиндрической формы и обепечивает заданную форму и энергию ионного пучка. Далее расположена система зондов, с помощью которой осуществляется диагностика распределения ионов в поперечном сечении пучка. Управление параметрами пучка осуществляется путем изменения потенциала экстракционного электрода и электродов ускоряющей системы.

электродов Положение И размеры ускоряющей системы обеспечивают работу каждого из элементов при разнице потенциалов до 40кВ, а всей системы 150 кВ. Проведены ДО предварительные исследования параметров работы источника ионов и ускоряющей системы. На рис.2 ионного представлены зависимости измеренного в области мишени от потенциала экстракционного электрода.

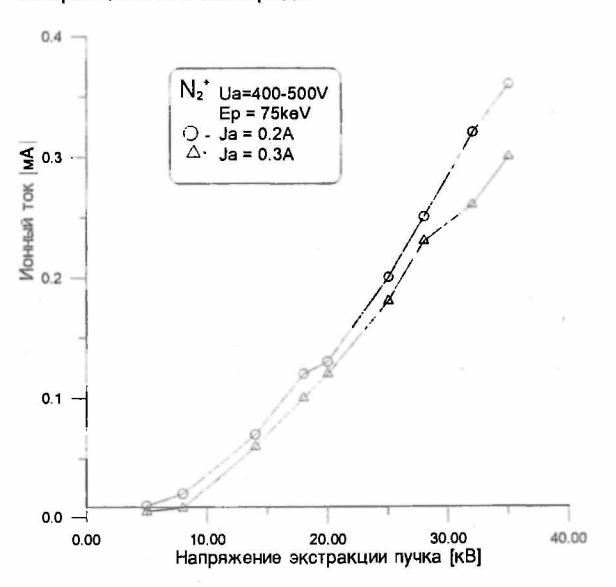


Рис.2. Завсимость ионного тока мишени от потенциала экстракции.

Полученные зависимости указывают на то, что для использованного электрода его рабочий потенциал должен находиться в интервале 20-30кВ.

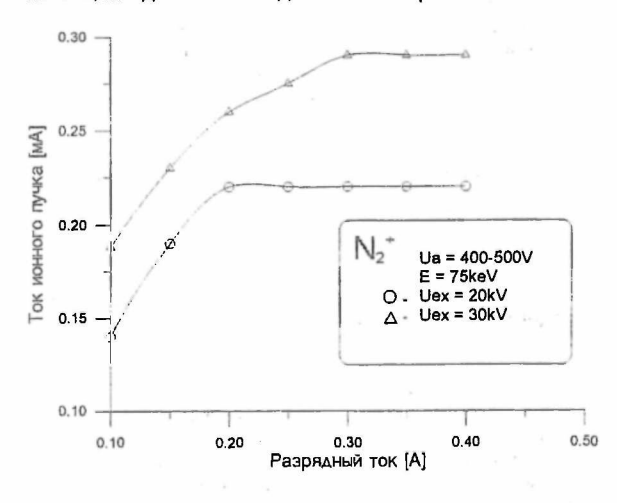


Рис.3. Зависимость ионного тока мишени от тока разряда ионного источника.

3-я международная конференция «Взаимодействие излучений с твердым телом», 6-8 октября 1999 г. Минск, Беларусь 3-я International Conference «Interaction of Radiation with Solids», October 6-8 1999, Minsk, Belarus

На рис. З представлена одна из основных характеристик источника ионов - зависимость ионного тока от тока разряда при разных потенциалах экстракционного электрода. Иэнный ток измерялся на мишени, к которой был приложен антиэмиссионный потенциал около +150 В. Основные эксплуатационные характеристики установки оказались близкими к ранее полученным с использованием модели [2].

3. Система констроля электрических параметров ионно-имплантируемых слоев металлов

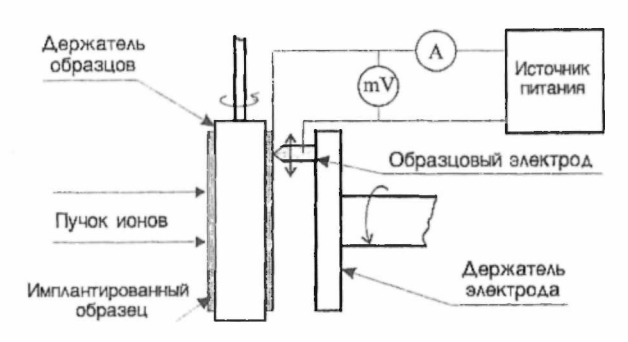


Рис.4. Система измерений электрических свойств образца непосредственно в процессе имплантации.

Мишенная часть установки запроектирована на основе патента [3] и позволяет производить измерения электрических свойств имплантируемого материала без напуска воздуха в камеру имплантатора (рис.4). Измерения полегают на выполнении следующих операций:

- по достижении заданной дозы имплантации держатель поворачивают на 180° вокруг вертикальной оси,
- к образцу микрометрическим винтом прижимают образцовый электрод,
- включают источник питания и устанавливают заданное значение силы тока, протекающего через контакт имплантируемый образец образцовый электрод (обычно 5 или 10А),
- микрометрическим винтом устанавливают силу, прижимающую электрод, величину которой регистрирует тензодатчик а показывают электронные весы, миливольтметром измеряют падение напряжения на исследуемом контакте;
- полученная таким образом зависимость падения напряжения на контакте имплантируемый материал образцовый электрод от силы его прижатия характеризует изменения свойств имплантируемого материала [4],
- по окончании измерений отодвигают образцовый электрод, поворачивают в исходную позицию дерижатель образцов и продолжают имплантацию до достижения следующей дозы.

Держатель электрода можно вращать вокруг горизонтальной оси, а сам электрод установлен эксцентрично. Благодаря этому можно проводить измерения в разных точках образца (до 30 - 40 точек).

На рис.5 представлены зависимости падения напряжения на контакте имплантированный образец меди - образцовый электрод из индия от силы нагрузки на электрод. Зависимости для разных доз получены на одном образце без извлечения его из вакуумной камеры имплантатора. Как видно из рисунка, рост дозы приводит к изменению удельного сопротивления имплантированного слоя

вследствие произходящих в нем изменений структуры и химического состава.

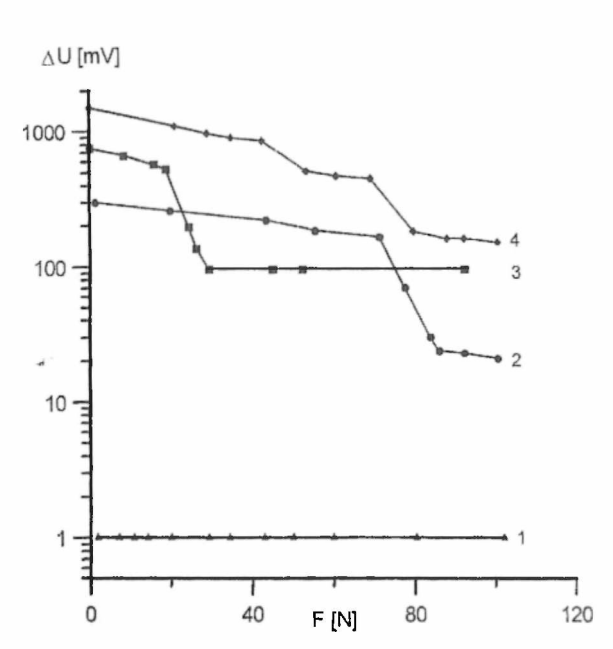


Рис.5. Зависимость падения напряжения на контакте имплантируемая медь - образцовый электрод из индия от силы нагрузки. Ионы N_2^+ , E=70 кв В, j=7 мк А/см², T=280 К, доза имплантации: 1 - 0; 2 - $2\cdot10^{17}$ см², 3 - $4\cdot10^{17}$ см²; 4 - $6\cdot10^{17}$ см².

4. Заключение

Введенная в эксплуатацию установка в настоящее время проходит различные оптимизационные тесты. Основные параметры установки:

- ионы N₂⁻. O₂⁺, и др.
- ионы № . О₂ , и др. - максимальная энергия ионов 150 кэВ.
- плотность ионного пучка до 20мкA/cм²
- имп∧антируемая поверхность до 50см² при Т=80K, до 200см² при Т=300K
- температура образцов от 80К до 500К
- стабильность ионного тока (1 час) < 5% неоднородность плотности тока < 10%
- время эксплуатации источника > 100 часов

Конструкция держателя образца позволяет охлаждать его жидким азотом, а также нагревать до температуры 500 К. В мишенной камере предусмотрена возможность монтажа испарителя, обеспечивающего проведение операции динамического ионного перемешивания. Существует также возможность проведения двухпучковых ионных имплантаций.

Список литературы

- Kiszczak K. Cold Hollow Cathode Ion Source, II Intern. Symp. Ion Impl. and Other Application of Ions and Electrons, Kazimierz, s.31,1998.
- Karwat Cz., Zukowski P., Kiszczak K. Intern. Symp. Ion Impl. of Science and Techn. Nałęczow, s. 171, 1997.
- Karwat Cz., Zukowski P., Liśkiewicz J., Komarow F. Устройство для измерения падения напряжения на имплантируемом контакте. Заявка на патент РП Нр.314919, 1996.
- Кагwat Cz., Żukowski P., Partyka J.: Измерения параметров электротехнических проводящих материалов, имплантированных ионами. ИИИ школа конференция "Компьютерная метрология" Зэгже, s. 283. 1998

3-я международная конференция «Взаимодействие излучений с твердым телом» 6-8 октября 1999 г., Минск, Беларусь 3-d International Conference «Interaction of Radiation with Solids», October 6-8, 1999, Minsk, Belarus

MACHINE FOR ION IMPLANTATION OF METALS

Ch.Karvat¹⁾, P.Zhukovsky¹⁾, M.Kozak¹⁾, K.Kishchak²⁾, E.Liskevich²⁾

1) Lublin Technocal University, Poland
2) M.Cury-Skladovskaya University, Lublin, Poland

Construction of machine for modification materials was represented in this work and construction of target chamber was described.

3-я международная конференция «Взаимодействие излучений с твердым телом», 6-8 октября 1999 г. Минск, Беларусь 3-а International Conference «Interaction of Radiation with Solids», October 6-8 1999, Minsk, Belarus

